

九州産業大学

九州産業大学

九州産業大学

正会員 崎山正常

正会員 ○細川土佐男

学生員 田中英彦

1. まえがき 本研究は、建設省が行なっている「地下水涵養技術の開発」に関する研究の一環として行ったものであり、野母崎地下ダムの総合実験研究の一部である。<sup>1)</sup> 研究の内容は、何も施さながつたら、難透水性の遮水壁を通って侵入してくるであろう塩水を、遮水壁より堤内地側に設けた淡水注入池に揚水の一部を灌水し、ウォーターカーテンを形成させることによって排除する工法を提案し、解析を行つたものである。なお、解析に当つては、浸透地盤は3層として、難透水性の遮水壁がある場合とない場合について取り扱い、その結果から遮水壁の有効性を確かめた。

## 2. 解析 流れの場を、2次元

定常の流れの場として、図-1

のようにモデル化する。いま、浸透地盤を透水係数の異なる多層地盤として取り扱うため、層界における流れの屈折を取り入れたポテンシャルの算定式を求める。図-2に示すように透

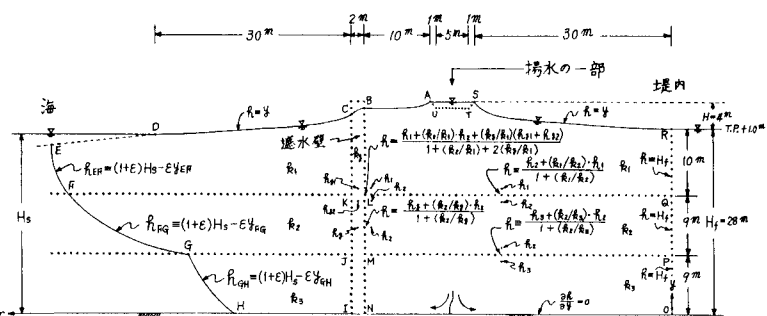


図-1 解析領域とその境界条件

水係数  $k_1$  および  $k_2$  の層界において、Darcyの法則と連続の条件を適用すれば、ただちに

$\tan \alpha / \tan \beta = k_1 / k_2 \dots \dots (1)$  なる屈折の法則がえられる。この式(1)から層界のポテンシャルの算定式  $R_h = (k_1 \cdot R_1 + k_2 \cdot R_2) / (k_1 + k_2) \dots \dots (2)$  がえら

れる。すなわち、層界のは、微小直上と直下の  $\alpha$  をそれぞれの長で重みをつけて平均化すればよい。さて、各層内では、 $R_h = \text{const.}$  とすれば、任意点でのポテンシャル  $R_h = P_f / \gamma_f + y \dots \dots (3)$  について Laplace の式  $\partial^2 R_h / \partial x^2 + \partial^2 R_h / \partial y^2 = 0 \dots \dots (4)$  が成立する。さらにこれに対応する流関数を  $\Psi$  とすれば Cauchy-Riemann の条件より  $(1/k) \cdot d\Psi = -(\partial R_h / \partial y) \cdot dx + (\partial R_h / \partial x) \cdot dy \dots \dots (5)$  がえられる。したがつて流線は、各層ごとに  $x = \text{const.}$  にそつて

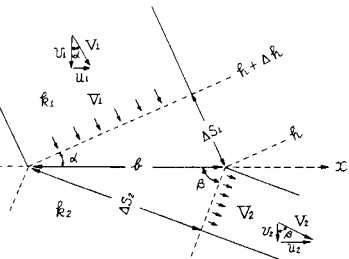


図-2 屈折の法則

$\Psi / k = \int (\partial R_h / \partial x) \cdot dy \dots \dots (6)$   $y = \text{const.}$  にそつて  $\Psi / k = - \int (\partial R_h / \partial y) \cdot dx \dots \dots (7)$

なる積分を行い、 $\Psi = \text{const.}$  を連ねてゆけば求められる。なお、図-5～6に示している各層の流線は、式(6)～(7)を各層ごとにあらわし、

$$\left. \begin{aligned} \frac{\Psi_1}{k_1} &= \frac{k_1}{k_3} \int \frac{\partial R_h}{\partial x} dy, \text{ or}, - \frac{k_1}{k_3} \int \frac{\partial R_h}{\partial y} dx, & \frac{\Psi_2}{k_2} &= \frac{k_2}{k_3} \int \frac{\partial R_h}{\partial x} dy, \text{ or}, - \frac{k_2}{k_3} \int \frac{\partial R_h}{\partial y} dx \\ \frac{\Psi_3}{k_3} &= \frac{k_3}{k_2} \int \frac{\partial R_h}{\partial x} dy, \text{ or}, - \frac{k_3}{k_2} \int \frac{\partial R_h}{\partial y} dx, & \frac{\Psi_3}{k_3} &= \int \frac{\partial R_h}{\partial x} dy, \text{ or}, - \int \frac{\partial R_h}{\partial y} dx \end{aligned} \right\} \dots \dots (8)$$

によつて算定したものである。また、浸透量もこの結果より求められる。なお、境界条件は図-1示しているが、特に、淡塩界面 EFGH の  $\alpha$  については、海水位は  $\text{const.}$  とみなしているから、式(3)より

$$R_h = (1+\epsilon)H_s - \epsilon y \dots \dots (9), \text{ここで } \epsilon = (j_s - j_f) / j_f \quad j_s: \text{海水の単位重量}, \quad j_f: \text{淡水の単位重量},$$

がえられる。次に、与えられた流れの場の諸元の関係と、図-1に示す境界条件を満たす解を求めるためには、密度流の特性式(9)と自由水面の特性式 $\bar{R} = \gamma$ を満足するまで、数回の試行を行ふ。なお、式(4)の数値計算は、S.O.R法とF.E.M.によって行った。試行を進めた過程を図-3～4に例示している。図-5は、その結果である。また、図-6は、遮水壁がない場合についてえた結果である。

3. 検討 図-5～6の上部に示しているように、合計漫透量は、ほぼ $Q = 23 \sim 26 \text{ m}^3/\text{day}$ となる。この漫透量は、

図-5の場合堤内側と海側と

にほぼ3対1の割合で分流しており、図-6の場合のそれは、ほぼ1対1に分流している。この差は、遮水壁の有無によるものである。また、淡塩界面は、図-5の場合の方が、図-6の場合よりも堤内側に寄っている。これは前者の場合には遮水壁部で漫透水のポテンシャルが急激に低下するためである

と考えられる。また、S.O.R法とF.E.M.による算定淡塩界面の相違は、実用的には無視できる程度であるが、理論的にまだつめてみる必要を感じている

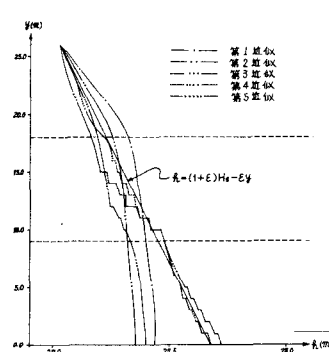
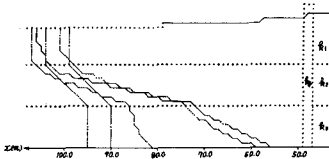


図-3 S.O.R法による試行過程

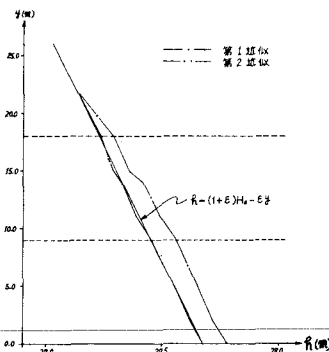
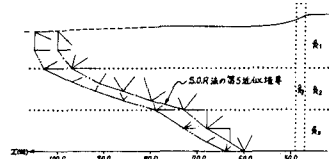


図-4 F.E.M.による試行過程

$$\begin{aligned} H + H_f &= 32.0 \text{ m}, H_f = 28.0 \text{ m}, H_0 = 27.0 \text{ m}, R_{DE} = 27.025 \text{ m}, R_1/R_2 = 1/10, R_2/R_3 = 1/10, R_3/R_4 = 1/10 \\ R_{AB}/R_3 &= 0.277 \text{ m}, R_{EF}/R_2 = 2.686 \text{ m}, R_{MF}/R_3 = 0.235 \text{ m}, R_{NL}/R_3 = 3.20 \text{ m}, R_{OE}/R_3 = 1.23 \text{ m}, \sum R_i/R_3 = 4.43 \text{ m} \\ R_4 &= 10 \times 10^{-4} \text{ cm/sec} = 10 \times 10^{-4} \text{ m/sec} \text{ とすれば } \beta_m = 3.20 \times 10^{-4} \text{ m/sec} = 0.276 \text{ m/day}, \beta_{DE} = 1.23 \times 10^{-4} \text{ m/sec} = 0.106 \text{ m/day} \\ \sum \beta &= 4.43 \times 10^{-4} \text{ m/sec} = 0.383 \text{ m/day}, \text{水路延長 } B = 60 \text{ m} \text{ とすれば } Q = 8 \text{ 日より } Q_{AB} = 16.56 \text{ m}^3/\text{day}, Q_{DE} = 6.36 \text{ m}^3/\text{day}, \\ \sum Q &= 22.92 \text{ m}^3/\text{day} \end{aligned}$$

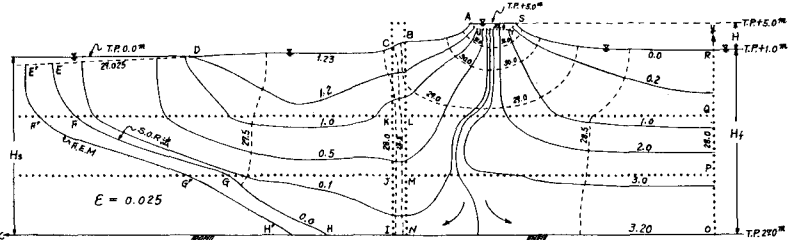


図-5 難透性遮水壁がある場合

$$\begin{aligned} H + H_f &= 32.0 \text{ m}, H_f = 28.0 \text{ m}, H_0 = 27.0 \text{ m}, R_{AB} = 27.025 \text{ m}, R_1/R_2 = 1/10, R_2/R_3 = 0.207 \text{ m} \\ R_{AB}/R_3 &= 1.899 \text{ m}, R_{MF}/R_2 = 0.164, R_{NL}/R_3 = 2.27 \text{ m}, R_{OE}/R_3 = 2.65 \text{ m}, \sum R_i/R_3 = 4.72 \text{ m} \\ R_4 &= 1.0 \times 10^{-4} \text{ cm/sec} = 1.0 \times 10^{-4} \text{ m/sec} \text{ とすれば } \beta_m = 2.27 \times 10^{-4} \text{ m/sec} = 0.196 \text{ m/day}, \beta_{DE} = 2.65 \times 10^{-4} \text{ m/sec} = 0.229 \text{ m/day} \\ \sum \beta &= 4.93 \times 10^{-4} \text{ m/sec} = 0.426 \text{ m/day}, \text{水路延長 } B = 60 \text{ m} \text{ とすれば } Q = 8 \text{ 日より } Q_{AB} = 11.76 \text{ m}^3/\text{day}, Q_{DE} = 13.74 \text{ m}^3/\text{day} \\ \sum Q &= 25.50 \text{ m}^3/\text{day} \end{aligned}$$

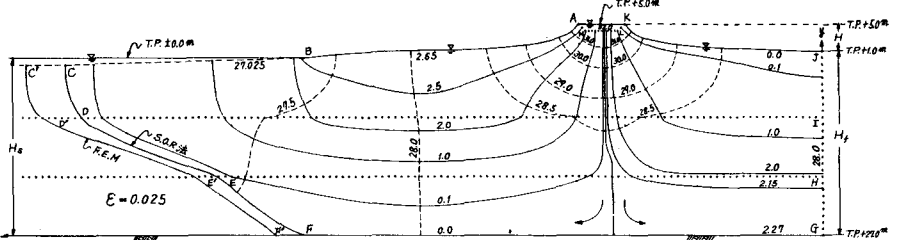


図-5 難透性遮水壁がある場合

ので、漫透領域分割の問題などについて今後とも検討を加えてゆく計画である。

#### 参考文献

- 1) 建設省土木研究所、国土開発技術研究センター：地下水涵養技術の開発、pp.5-1～5-25、昭和55年3月。
- 2) 石原藤次郎、本間仁：応用水理学上、P.189、丸善、昭和47年3月。